

Math-Net.Ru

Общероссийский математический портал

Ю. Г. Евтушенко, В. Г. Жадан, А. П. Черенков, Применение метода Ньютона к решению задач линейного программирования, *Ж. вычисл. матем. и матем. физ.*, 1995, том 35, номер 6, 850–866

Использование Общероссийского математического портала Math-Net.Ru подразумевает, что вы прочитали и согласны с пользовательским соглашением <http://www.mathnet.ru/rus/agreement>

Параметры загрузки:

IP: 18.226.34.78

5 ноября 2024 г., 00:17:43



© 1995 г. Ю. Г. ЕВТУШЕНКО, В. Г. ЖАДАН, А. П. ЧЕРЕНКОВ

(Москва)

ПРИМЕНЕНИЕ МЕТОДА НЬЮТОНА К РЕШЕНИЮ ЗАДАЧ ЛИНЕЙНОГО ПРОГРАММИРОВАНИЯ¹⁾

Рассматриваются непрерывные и дискретные варианты барьерно-ньютоновского метода решения задач линейного программирования. Метод является прямо-двойственным, и в его основе лежит идея отыскания с помощью метода Ньютона тех точек в прямом и двойственном пространстве, которые удовлетворяют совместной системе условий оптимальности. Исследуются локальные и нелокальные свойства метода. Для дискретных вариантов метода предлагается использовать разные шаги в прямом и двойственном пространствах. Показано, что при специальных регулировках шагов метод сходится со сверхлинейной и квадратичной скоростью. Рассматривается вариант метода, в котором шаги выбираются из условия наискорейшего спуска, и выделена область начальных условий, при которых метод находит решение не более чем за две итерации.

Введение

Метод Ньютона является одним из наиболее эффективных способов решения систем нелинейных уравнений и задач оптимизации [1]—[3]. В последнее время появились многочисленные варианты метода, предназначенные для решения задач линейного программирования (л.п.) (см., например, [4]—[6]). Подробный обзор таких методов содержится в [7], причем особый интерес среди них представляют прямо-двойственные алгоритмы, в которых методом Ньютона решается параметризованная система уравнений, дающих в пределе условия оптимальности для прямой и двойственной задач [8]—[12]. Эти методы позволяют сочетать достаточно высокую локальную скорость сходимости с полиномиальностью алгоритмов. В настоящей работе также предлагается прямо-двойственный метод, основанный на решении системы уравнений, задающих условия оптимальности в задаче л.п., а именно условия дополняющей нежесткости и условия допустимости (см. [13]).

Если воспользоваться преобразованием пространств для освобождения от требования неотрицательности переменных [14], [15] и применить метод Ньютона для отыскания точек, удовлетворяющих условиям Куна — Таккера, то можно получить целое семейство различных методов. Такие методы для общей задачи нелинейного программирования рассматривались в [15], [16] и для задачи л.п. — в [17].

Данная статья посвящена исследованию специального класса методов, соответствующих таким покомпонентным преобразованиям пространств, которые приводят к умножению правых частей систем обыкновенных дифференциальных уравнений, описывающих метод, на диагональные матрицы, играющие роль

¹⁾ Работа выполнена при поддержке Российского фонда фундаментальных исследований (коды проектов 93-012-450, 94-01-01379).

барьеров и не позволяющие траекториям пересекать границы положительных ортантов как в исходном пространстве, так и в пространстве двойственных дополнительных переменных. В отличие от [17], здесь основное внимание уделяется выбору шагов в прямом и двойственном пространствах, которые, как и в [18], могут быть различными. Рассматриваются отдельно варианты метода с малыми шагами, а также с шагами, близкими к единице или выбираемыми из решения вспомогательных оптимизационных задач.

§ 1. Постановка задачи, основные идеи метода

Пусть $x = [x^1, \dots, x^n]$, $u = [u^1, \dots, u^m]$ — векторы из евклидовых пространств R^n и R^m соответственно. Рассмотрим прямую и двойственную задачи л.п., заданные в следующей форме:

$$(1.1) \quad \min_{x \in X} c^T x, \quad X = \{x \in R^n : b - Ax = 0_m, x \geq 0_n\},$$

$$(1.2) \quad \max_{u \in U} b^T u, \quad U = \{u \in R^m : v = c - A^T u \geq 0_n\}.$$

Здесь и ниже A — матрица $m \times n$, в которой $m < n$, 0_i — нулевой i -мерный вектор, $b \in R^m$, $c \in R^n$. Символ 0_{ij} будет обозначать нулевую матрицу $i \times j$.

Введем в рассмотрение следующие множества:

$$R_+^n = \{x \in R^n : x \geq 0_n\}, \quad R_{++}^n = \{x \in R^n : x > 0_n\},$$

$$\text{int } U = \{u \in R^m : v = c - A^T u > 0_n\}, \quad \text{ri } X = \{x \in R_+^n : Ax = b\}.$$

Всюду предполагаем, что ранг матрицы A равен m , множества $\text{int } U$ и $\text{ri } X$ непусты, задача (1.1) имеет единственное решение x_* , которое не вырождено. Тогда двойственная задача (1.2) также имеет единственное решение u_* и оно не вырождено, вектор x_* имеет m ненулевых компонент, вектор $v_* = c - A^T u_*$ имеет m нулевых компонент. При этом выполняются условие дополняющей нежесткости $x_*^j v_*^j = 0$, $1 \leq j \leq n$, и условие строгой дополняющей нежесткости, т. е. из $x_*^j = 0$ следует, что $v_*^j > 0$.

Для решения задач линейного и нелинейного программирования в [16], [17] был использован метод Ньютона. В результате было получено целое семейство численных методов. Здесь ограничимся рассмотрением только одной численной схемы, в которой итерации строятся по формуле

$$(1.3) \quad W(x_k, u_k, \lambda_k) \begin{bmatrix} x_{k+1} - x_k \\ u_{k+1} - u_k \end{bmatrix} = - \begin{bmatrix} \alpha_k D(x_k) v_k \\ \tau_k (Ax_k - b) \end{bmatrix}.$$

Здесь нижний индекс k обозначает номер итерации, $D(z)$ — диагональную матрицу, у которой на главной диагонали находится вектор z , $\alpha_k, \tau_k, \lambda_k$ — некоторые положительные коэффициенты, $\lambda_k = \alpha_k / \tau_k$, n -мерный вектор v имеет вид $v = v(u) = c - A^T u$, W — квадратная матрица порядка $n + m$,

$$W(x, u, \lambda) = \begin{bmatrix} \lambda D(v) & -D(x) A^T \\ A & 0_{mm} \end{bmatrix}.$$

В тех точках, где векторы x_k и v_k имеют все компоненты, не равные нулю, система (1.3) может быть записана в виде

$$(1.4) \quad x_{k+1} = D(x_k) [e_n + \tau_k (\eta_k - e_n)], \quad u_{k+1} = u_k + \alpha_k \mu_k,$$

где e_n есть n -мерный вектор, все компоненты которого равны единице, векторы $\eta \in \mathbb{R}^n$, $\mu \in \mathbb{R}^m$ определяются по формулам

$$(1.5) \quad \eta(x, u) = D^{-1}(v) A^T \mu(x, u), \quad \mu(x, u) = M^{-1}(x, u) b.$$

Здесь $M(x, u) = AD(x)D^{-1}(v)A^T$ — матрица Грама.

Используя связь $v = c - A^T u$ между векторами u и v , метод (1.4) можно переписать в переменных x, v :

$$(1.6) \quad x_{k+1} = D(x_k) [e_n + \tau_k (\eta_k - e_n)], \quad v_{k+1} = D(v_k) (e_n - \alpha_k \eta_k).$$

Введем матрицу $\Lambda \in \mathbb{R}^{d \times n}$, где $d = n - m$ — дефект матрицы A . Столбцы матрицы Λ^T образуют базис нуль-пространства матрицы A , т. е. $A\Lambda^T = 0_{m \times d}$. Введем в рассмотрение множество $V = \{v \in \mathbb{R}^n : \Lambda(v - c) = 0_d\}$. Если $v \in V$, то вектор $v - c$ лежит в пространстве строк матрицы A и для вектора v существует такой m -мерный вектор u , что $v = c - A^T u$. Из второго соотношения (1.6) следует $\Lambda(v_{k+1} - c) = \Lambda(v_k - c) - \alpha_k \Lambda A^T \mu_k = \Lambda(v_k - c)$. Таким образом, если $v_0 \in V$, то $v_k \in V$ для всех k и соотношения (1.4) эквивалентны (1.6). Итерации можно проводить как в пространстве x, u , так и в пространстве x, v .

Лемма 1. Пусть x_* и u_* — невырожденные решения задач (1.1) и (1.2), тогда матрица $W(x_*, u_*, \lambda)$ не вырождена.

Доказательство. Не нарушая общности, считаем, что ненулевыми являются первые m компонент вектора x_* . Тогда векторы x_* , v_* и матрицы A и W можно представить в виде

$$(1.7a) \quad x_* = \begin{bmatrix} x_*^B \\ x_*^N \end{bmatrix}, \quad v_* = \begin{bmatrix} v_*^B \\ v_*^N \end{bmatrix}, \quad x_*^B > 0_m, \quad x_*^N = 0_d, \quad v_*^B = 0_m, \quad v_*^N > 0_d,$$

$$(1.7b) \quad A = [B | N], \quad W(x_*, u_*, \lambda) = \begin{bmatrix} 0_{mm} & 0_{md} & -D(x_*^B) B^T \\ 0_{dm} & \lambda D(v_*^N) & 0_{dm} \\ B & N & 0_{mm} \end{bmatrix}.$$

Здесь $B \in \mathbb{R}^{m \times m}$, $N \in \mathbb{R}^{m \times d}$.

Для доказательства достаточно показать, что следующая система однородных алгебраических уравнений имеет только нулевое решение:

$$D(x_*^B) B^T \bar{u} = 0_m, \quad \lambda D(v_*^N) \bar{x}^N = 0_d, \quad B \bar{x}^B + N \bar{x}^N = 0_m,$$

где $\bar{x}^B \in \mathbb{R}^m$, $\bar{x}^N \in \mathbb{R}^d$, $\bar{u} \in \mathbb{R}^m$. Но это очевидно, так как B — невырожденная матрица.

Лемма 2. Для всяких $x \in \mathbb{R}_{++}^n$, $u \in \text{int } U$, $\lambda \in \mathbb{R}_{++}^1$ матрица $W(x, u, \lambda)$ не вырождена.

Поскольку на рассматриваемых множествах матрица $M(x, u)$ не вырождена,

то доказательство леммы 2 следует из формулы Фробениуса для обратной матрицы:

$$W^{-1} = \begin{bmatrix} \lambda^{-1} D^{-1}(v) [I_n - D(x) A^T M^{-1} A D^{-1}(v)] & D^{-1}(v) D(x) A^T M^{-1} \\ -M^{-1} A D^{-1}(v) & \lambda M^{-1} \end{bmatrix}.$$

Здесь и ниже I_s — единичная матрица $s \times s$.

Объединим векторы x и u одним символом, положив $z^T = [x^T, u^T] \in \mathbb{R}^{n+m}$. Согласно лемме 2, правые части соотношений (1.6) однозначно определены, если все компоненты векторов x и v (u) строго положительны. Векторы z , у которых $z \in \mathbb{R}_{++}^n$, $u \in \text{int } U$, назовем *внутренними*. Те варианты метода (1.3), в которых на всех итерациях вектор z остается внутренним, будем называть *методами внутренних точек*.

Введем в рассмотрение скаляр $\Phi_k = x_k^T v_k$. Из (1.4), (1.6) следует, что

$$(1.8) \quad Ax_{k+1} - b = (1 - \tau_k)(Ax_k - b),$$

$$(1.9) \quad \Phi_{k+1} = (1 - \tau_k)\Phi_k + (\tau_k - \alpha_k)\mu_k^T Ax_k + \alpha_k \tau_k \mu_k^T (Ax_k - b).$$

Пусть $x_k > 0_n$, $v_k > 0_n$. Тогда для того, чтобы гарантировать неотрицательность векторов x_{k+1} и v_{k+1} , шаги α_k , τ_k должны удовлетворять условиям $e_n \geq \alpha_k \eta_k$, $e_n \geq \tau_k (e_n - \eta_k)$. Легко видеть, что эти условия имеют место, если

$$(1.10) \quad \alpha_k \leq \alpha_k^* = 1/[\eta_k^*]_+, \quad 0 < \tau_k \leq \tau_k^* = 1/[1 - \eta_k^*]_+,$$

где $[\alpha]_+ = \max[0, \alpha]$, η_k^* и η_k^{\dagger} — соответственно, максимальная и минимальная компоненты вектора η_k . Условимся считать, что $\alpha_k^* = +\infty$, если $\eta_k^* \leq 0$, и что $\tau_k^* = +\infty$, если $\eta_k^{\dagger} \geq 1$.

Числа τ_k^* и α_k^* определяют максимально возможные шаги по прямым и двойственным переменным вдоль ньютоновского направления, сохраняющие неотрицательность всех компонент векторов x и v на k -й итерации.

Лемма 3. Пусть $x_k > 0_n$, $v_k > 0_n$, $v_k \in V$ и $b \neq 0_m$, тогда $\eta_k^* > 0$. Если, кроме того, $x_k \in X$, множество X ограничено и вектор c не принадлежит пространству строк матрицы A , то $\eta_k^{\dagger} < 1$.

Доказательство. Предположим противное: пусть $\eta_k^* \leq 0$. Тогда из (1.5) следует $A^T \mu_k \leq 0_n$ и, согласно (1.4)–(1.6), выполняются неравенства $b^T u_{k+1} - b^T u_k = \alpha_k b^T M^{-1}(x_k, u_k) b > 0$, $v_{k+1} > 0_n$. Таким образом, двигаясь вдоль ньютонова направления, получаем при $\alpha_k \rightarrow \infty$, что вектор v_{k+1} имеет все неотрицательные компоненты и целевая функция двойственной задачи стремится к бесконечности. Это противоречит существованию ограниченного решения задачи (1.2). Поэтому $\eta_k^* > 0$ и, следовательно, максимальный шаг α_k^* ограничен.

Пусть $x_k \in X$. Тогда, согласно (1.8), точка $x_{k+1} \in X$. Если от противного предположить, что $\eta_k^{\dagger} \geq 1$, то в случае, когда $\eta_k^* > 1$, должна существовать такая j -я компонента вектора η_k , что $\eta_k^{\dagger} > 1$. Следовательно, в силу (1.4), $x_{k+1}^j \rightarrow \infty$ при $\tau_k \rightarrow \infty$. Но это невозможно из-за ограниченности X . Если $\eta_k^{\dagger} = \eta_k^* = 1$, то

$\alpha_k^0 = 1$ и при $\alpha_k = 1$ из (1.6) следует, что $v_{k+1} = 0_n$, $c = A^T u_k$, что противоречит условиям леммы. Поэтому $\eta_k^0 < 1$. Лемма доказана.

Для полного описания численных методов (1.3) и (1.5) необходимо определить правила выбора шагов α_k и τ_k . Укажем три класса методов, которые порождаются разными способами регулировки шагов.

1. Шаги α , τ фиксированы и достаточно малы. В этом случае процесс (1.3) близок к непрерывному варианту метода, который будет рассмотрен в следующем параграфе.

2. Шаги α и τ близки к единице. В этом случае метод близок к методу Ньютона.

3. На каждой итерации шаги α_k и τ_k выбираются из решения вспомогательных оптимизационных задач. Эти варианты можно называть *наискорейшим спуском*.

Ниже остановимся на некоторых вариантах методов из этих классов.

§ 2. Первый класс методов

В работе [17] метод (1.3) был получен из непрерывного варианта, в котором решение задач (1.1) и (1.2) сводилось к отысканию предельных точек (при $t \rightarrow \infty$) решений следующей системы обыкновенных дифференциальных уравнений:

$$(2.1a) \quad \lambda D(v) \frac{dx}{dt} - D(x) A^T \frac{du}{dt} = -\alpha D(x) v,$$

$$(2.1b) \quad A \frac{dx}{dt} = -\tau (Ax - b).$$

Здесь $x(t, z_0)$, $u(t, z_0)$ — решения задачи Коши (2.1) с вектором начальных условий $z_0^T = [x_0^T, u_0^T]$.

Пусть $\alpha > 0$, $\tau > 0$ и $\lambda = 1$, тогда метод (2.1) обладает свойством локальной сходимости. В [17] доказана

Теорема 1. Пусть x_* и u_* — изолированные невырожденные решения задач (1.1) и (1.2). Тогда пара $[x_*, u_*]$ является асимптотически устойчивым положением равновесия для системы (2.1). Дискретный вариант метода (1.3) локально сходится по крайней мере линейно при фиксированных параметрах λ_k , α_k и τ_k таких, что $\lambda_k = 1$, $0 < \alpha_k < 2$ и $0 < \tau_k < 2$.

Система (2.1) обладает $n + m$ первыми интегралами:

$$(2.2a) \quad D^\lambda(x(t, z_0)) v(t, z_0) = e^{-\alpha t} D^\lambda(x_0) v_0,$$

$$(2.2b) \quad Ax(t, z_0) - b = e^{-\tau t} (Ax_0 - b).$$

Отсюда следует, что на траекториях системы (2.1) компоненты векторов x и v не меняют знак. Поэтому если взять $x_0 > 0_n$, $v_0 > 0_n$ и траектории (2.1) ограничены и продолжимы при $t \rightarrow \infty$, то в предельных точках x_* , v_* будут выполнены условия оптимальности Куна — Таккера для задачи (1.1):

$$Ax_* = b, \quad x_* \geq 0_n, \quad v_* \geq 0_n, \quad D(x_*) v_* = 0_n.$$

Таким образом, для решения задач (1.1) и (1.2) можно либо отыскивать

предельные точки решения задачи Коши для системы (2.1), либо находить пределы решения нелинейной системы (2.2) при $t \rightarrow \infty$. Ниже будем ориентироваться на первый подход. Если все компоненты векторов x и u ненулевые, то систему (2.1) можно разрешить относительно производных и мы получим эквивалентную систему

$$(2.3) \quad dx/dt = \tau D(x) [\eta(x, u) - e_n], \quad du/dt = \alpha \mu(x, u).$$

Правые части системы (2.3) определены во всех тех точках, где вектор $z^T(t, z_0) = [x^T(t, z_0), u^T(t, z_0)]$ внутренний. Вместе с тем правые части не определены в точке $z_*^T = [x_*^T, u_*^T]$. Покажем, что если $z(t, z_0)$ приближается к z_* , оставаясь внутренним, то вектор-функции $\mu(x(t, z_0), u(t, z_0))$ и $\eta(x(t, z_0), u(t, z_0))$ имеют конечные пределы. Аналогично (1.7) вектор η представим в виде $\eta^T = [(\eta^B)^T, (\eta^N)^T]$, $\eta^B \in \mathbb{R}^m$, $\eta^N \in \mathbb{R}^d$.

Лемма 4. Пусть точки x_* и u_* являются невырожденными решениями, соответственно, задач (1.1) и (1.2), причем точка x_* представима в виде (1.7). Тогда для произвольных $x > 0$ и $u \in \text{int } U$ имеют место представления

$$(2.4) \quad \eta^B = e_m - D^{-1}(x_*^B) \delta x^B + s_1(\delta z),$$

$$(2.5) \quad \eta^N = D^{-1}(v_*^N) \delta v^N + s_2(\delta z),$$

$$(2.6) \quad \mu = -\delta u + s_3(\delta z),$$

где $\delta x = x - x_*$, $\delta u = u - u_*$, $\delta z^T = [\delta x^T, \delta u^T]$, $\delta v = -A^T \delta u$; $\|s_i(\delta z)\| = o(\|\delta z\|)$, $i = 1, 2, 3$; разбиение векторов δx и δv на, соответственно, компоненты δx^B , δx^N и δv^B , δv^N осуществляется аналогично (1.7).

Доказательство. В соответствии с разбиением вектора x_* матрицу $M(x, u)$ можно представить в виде

$$(2.7) \quad M(x, u) = M^B(x, u) + M^N(x, u).$$

Здесь

$$(2.8) \quad M^B(x, u) = BD(x^B)D^{-1}(v^B(u))B^T, \quad M^N(x, u) = ND(x^N)D^{-1}(v^N(u))N^T.$$

Если $M^B(x, u)$ — невырожденная матрица, то наряду с (2.7) справедливо равенство

$$M(x, u) = M^B(x, u) \{I_m + [M^B(x, u)]^{-1} M^N(x, u)\}.$$

Поэтому

$$(2.9) \quad M^{-1} = [I_m + (M^B)^{-1} M^N]^{-1} (M^B)^{-1} = [M^B(x, u)]^{-1} + S(x, u),$$

где $S = -(M^B)^{-1} M^N [I_m - (M^B)^{-1} M^N + \dots] (M^B)^{-1}$.

На основании (2.8) имеем

$$(2.10) \quad [M^B(x, u)]^{-1} = (B^T)^{-1} D(v^B(u)) D^{-1}(x^B) B^{-1}.$$

Поскольку, в силу невырожденности решений прямой и двойственной задач, $x_*^N = 0_n$, $v_*^B = 0_m$, $v_*^N > 0_d$, то из (2.9) и (2.10) следует, что $[M(x_*, u_*)]^{-1} = [M^B(x_*, u_*)]^{-1} = 0_{mm}$.

Имеют место очевидные представления

$$(2.11a) \quad b = Bx_0^B = Bx^B - B\delta x^B,$$

$$(2.11b) \quad \delta v^N = -N^T \delta u = N^T (B^T)^{-1} \delta v^B, \quad \|S(x, u)\| = o(\|\delta z\|).$$

Подставляя (2.9) и (2.11a) в выражения (1.5), получаем

$$(2.12) \quad \eta(x, u) = D^{-1}(v(u)) A^T M^{-1}(x, u) b = \eta_1(x, u) + s(\delta z).$$

Здесь $\eta_1(x, u) = D^{-1}(v(u)) A^T (M^B)^{-1} B(x^B - \delta x^B)$, $\|s(\delta z)\| = o(\|\delta z\|)$.

Если воспользоваться соотношением (2.10) и первым равенством (2.11b), то приходим к (2.6) и к следующим формулам:

$$\begin{aligned} \eta_1^B &= D^{-1}(v^B) B^T (B^T)^{-1} D(v^B) D^{-1}(x^B) B^{-1} B(x^B - \delta x^B) = \\ &= D^{-1}(x^B) (x^B - \delta x^B) = e_m - D^{-1}(x_0^B) \delta x^B + \theta^B(\delta z), \\ \eta_1^N &= D^{-1}(v^N) N^T (B^T)^{-1} D(v^B) D^{-1}(x^B) B^{-1} B(x^B - \delta x^B) = \\ &= D^{-1}(v^N) N^T (B^T)^{-1} v^B + \theta^N(\delta z) = D^{-1}(v^N) N^T (B^T)^{-1} \delta v^B + \\ &+ \theta^N(\delta z) = D^{-1}(v_0^N) \delta v^N + \theta_1^N(\delta z), \end{aligned}$$

где $\|\theta^B(\delta z)\| = o(\|\delta z\|)$, $\|\theta^N(\delta z)\| = o(\|\delta z\|)$. Так как $v_0^B = 0$, то отсюда и из (2.12) заключаем, что справедливы равенства (2.4), (2.5). Лемма доказана.

Утверждение леммы объясняет, почему вектор $\eta(x, u)$ часто называют *индикаторным* (см., например, [19]). Все компоненты вектора $\eta(x_0, u_0)$ состоят из нулей и единиц, причем базисным компонентам вектора x_0 соответствуют единичные компоненты вектора $\eta(x_0, u_0)$. Нулевым компонентам вектора x_0 соответствуют нулевые компоненты $\eta(x_0, u_0)$.

Введем в рассмотрение функцию Ляпунова $F(x, u)$ и лебегово множество Ω_0 по формулам

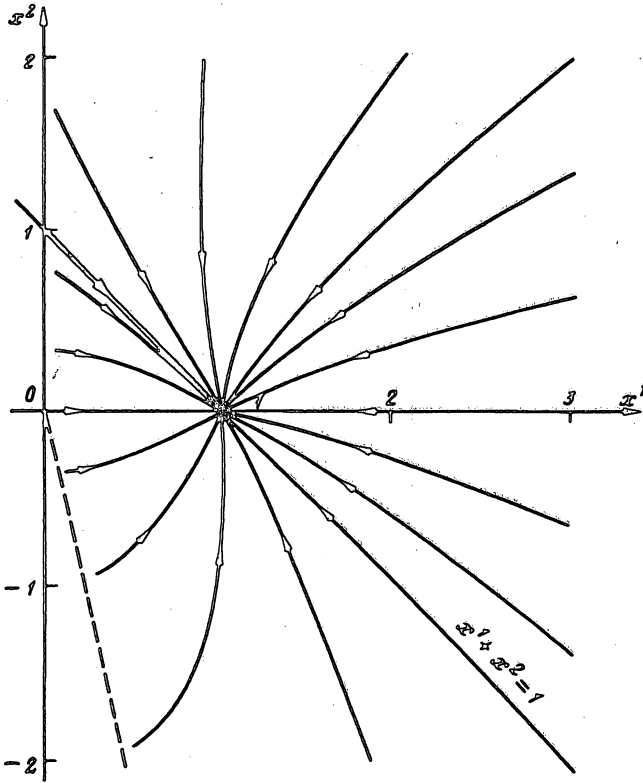
$$F(x, u) = \|D^A(x)(c - A^T u)\| + \|Ax - b\|,$$

$$\Omega_0 = \{(x, u): F(x, u) \leq F(x_0, u_0), x \geq 0_n, v \geq 0_n, b^T u_0 \leq b^T u\}.$$

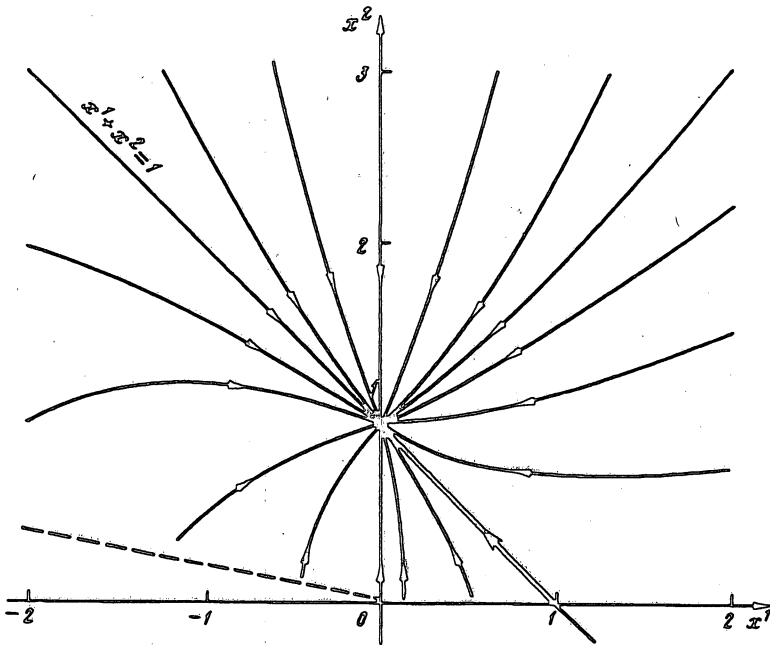
Теорема 2. Пусть $[x_0, u_0]$ — пара невырожденных решений задач (1.1) и (1.2). Пусть, кроме того, лебегово множество Ω_0 ограничено. Тогда для любого внутреннего вектора начальных условий z_0 имеют место следующие свойства:

- 1) матрица $M(x(t, z_0), u(t, z_0))$ не вырождена при любых $t \geq 0$,
- 2) $z(t, z_0) \in \Omega_0$ и $v(t, z_0) \in V$ при всех $t \geq 0$,
- 3) целевая функция двойственной задачи $b^T u$ монотонно возрастает на траекториях системы (2.3),
- 4) пара решений $[x(t, z_0), u(t, z_0)]$ системы (2.3) ограничена, продолжима и сходится к паре $[x_0, u_0]$ при $t \rightarrow \infty$.

Для иллюстрации свойств метода рассмотрим простейший пример, в котором $n=2$, $m=1$, $A=[1, 1]$, $b=1$, $c^T=[-2, 1]$. Очевидно, что $x_0^T=[1, 0]$, $u_0=-2$, $v_0^T=[0, 3]$, $f_0=c^T x_0=-2$.



Фиг. 1



Фиг. 2

На фиг. 1 показаны фазовые траектории системы (2.1) в плоскости x^1, x^2 . В качестве начального вектора двойственных переменных взят $u_0 = -3$. При этом $v_0 = [1, 4]$. Все траектории, начинающиеся из точек, имеющих строго положительные компоненты, сходятся к точке x_* . Штриховой линией обозначен луч $x^1 v_0^1 + x^2 v_0^2 = 0, x^1 \geq 0, x^2 \leq 0$, соответствующий множеству точек, где матрица $M(x, u_0)$ вырождена. В процессе итераций x и v изменяются и этот луч вращается, приближаясь к вертикальной оси при $t \rightarrow \infty$. Из рисунка видно, что сходимость к x_* имеет место при любых x_0 , лежащих выше этого луча.

На фиг. 2 показан фазовый портрет в случае, когда $u_0 = 2$ и $v_0 = [-4, -1]$. Все траектории, начинающиеся из \mathbb{R}_{++}^2 , сходятся к точке $x^* = [0, 1]$, являющейся решением задачи поиска максимума функции $c^T x$ на X . Точка x_* в этом случае неустойчива, а точка x^* является аттрактором.

Интегрируя систему (2.1) по схеме Эйлера, приходим к методу (1.4). Итеративный процесс (1.4) будет близок к процессу, описываемому системой дифференциальных уравнений (2.1), если шаги α_k, τ_k достаточно малы. Свойства этого варианта методов были исследованы Г. В. Смирновым; в частности, он показал полиномиальность дискретного варианта метода при малых α_k и τ_k . Вместе с тем очевидно, что метод (1.4) более эффективен, если шаги α_k и τ_k берутся достаточно большими. Анализ этих вариантов метода проведен ниже.

§ 3. Локальные свойства метода

Из формул (1.5) следует, что вектор $D(x)\eta$ является одним из решений системы линейных алгебраических уравнений $AD(x)\eta = b$. Если $x = x_*$, то у вектора η компоненты, соответствующие базисным компонентам вектора x_* , будут равны единице, а компоненты, соответствующие небазисным компонентам, будут равны нулю. Поэтому $\eta_* = 0, \eta^* = 1, \alpha^* = \tau^* = 1$. Таким образом, в окрестности решения максимально допустимые шаги, гарантирующие неотрицательность x и v , близки к единице. Рассмотрим простейший вариант выбора α_k, τ_k . Будем считать, что

$$(3.1) \quad \alpha_k = (1 - \rho_k) \alpha_k^*, \quad \tau_k = (1 - \rho_k) \tau_k^*,$$

где $0 < \rho_k < 1$. Укажем три правила выбора ρ_k :

$$(3.2) \quad 0 < \rho_k < 1, \quad \lim_{k \rightarrow \infty} \rho_k = 0,$$

$$(3.3) \quad \rho_k = \max [\kappa \Phi_k, 1 - \delta], \quad 0 < \kappa, \quad 0 < \delta < 1,$$

$$(3.4) \quad \rho_k = \kappa \Phi_k / (1 + \kappa \Phi_k), \quad \kappa > 0.$$

При всех этих способах гарантируется, что $0 < 1 - \rho_k < 1$. Поэтому если $x_k > 0_n, v_k > 0_n$, то на следующей итерации эти векторы также строго положительны.

Теорема 3. Пусть выполнены предположения леммы 4 и на каждой итерации шаги α_k и τ_k выбираются согласно (3.1)–(3.4). Тогда метод (1.4) локально по меньшей мере сверхлинейно сходится к $[x_*, u_*]$, т. е.

$$(3.5) \quad \lim_{k \rightarrow \infty} \frac{|x'_{k+1} - x'_*|}{|x'_k - x'_*|} = 0, \quad \lim_{k \rightarrow \infty} \frac{|u'_{k+1} - u'_*|}{|u'_k - u'_*|} = 0, \quad 1 \leq i \leq n, \quad 1 \leq j \leq m.$$

$$(3.6) \quad \lim_{k \rightarrow \infty} \alpha_k^* = \lim_{k \rightarrow \infty} \tau_k^* = 1, \quad \lim_{k \rightarrow \infty} \mu_k = 0_m, \quad \lim_{k \rightarrow \infty} \eta_k^* = 1, \quad \lim_{k \rightarrow \infty} \eta_*^k = 0.$$

При использовании регулировок (3.3) или (3.4) имеет место квадратичная скорость сходимости.

Доказательство. Обозначим $\Delta x_k = x_k - x_*$, $\Delta v_k = v_k - v_*$, $\Delta u_k = u_k - u_*$, $\Delta z_k = [\Delta x_k, \Delta u_k]$. Тогда метод (1.4) можно записать в виде

$$(3.7a) \quad \Delta x_{k+1} = [I_n - \tau_k D(e_n - \eta_k)] \Delta x_k - \tau_k D(x_*) (e_n - \eta_k),$$

$$(3.7б) \quad \Delta v_{k+1} = [I_n - \alpha_k D(\eta_k)] \Delta v_k - \alpha_k D(v_*) \eta_k,$$

$$(3.7в) \quad \Delta u_{k+1} = \Delta u_k + \alpha_k \mu_k.$$

Предположим, что пара векторов $[x_k, u_k]$ близка к $[x_*, u_*]$ и норма вектора Δz_k является малой величиной порядка ε . Предположим также для определенности, что базис в точке x_* образуют первые m столбцов матрицы A , т. е. имеет место представление (1.7). Из (2.4) и (2.5) тогда следует, что

$$(3.8a) \quad \eta_k^B = e_m - D^{-1}(x_*^B) \Delta x_k^B + s_1(\Delta z_k),$$

$$(3.8б) \quad \eta_k^N = D^{-1}(v_*^N) \Delta v_k^N + s_2(\Delta z_k),$$

$$(3.8в) \quad \mu_k = -\Delta u_k + s_3(\Delta z_k),$$

где $\|s_i(\Delta z_k)\| = O(\varepsilon^2)$, $i = 1, 2, 3$.

Подставляя эти соотношения в правые части (3.7), получаем

$$(3.9a) \quad \Delta x_{k+1} = (1 - \tau_k) \Delta x_k + \theta_1(\Delta z_k),$$

$$(3.9б) \quad \Delta v_{k+1} = (1 - \alpha_k) \Delta v_k + \theta_2(\Delta z_k),$$

$$(3.9в) \quad \Delta u_{k+1} = (1 - \alpha_k) \Delta u_k + \theta_3(\Delta z_k).$$

Здесь $\|\theta_i(\Delta z_k)\| = O(\varepsilon^2)$, $i = 1, 2, 3$; α_k и τ_k определяются из условий (3.1). Имеем при сделанных предположениях

$$1/\alpha_k^* = \eta_k^* = 2 - \min_{1 \leq i \leq m} [x'_k / x'_*] + O(\varepsilon)^2,$$

$$1/\tau_k^* = \eta_*^k = 2 - \min_{m < i \leq n} [v'_k / v'_*] + O(\varepsilon)^2.$$

Отсюда следует, что

$$(3.10) \quad \alpha_k^* = 1 + O(\varepsilon), \quad \tau_k^* = 1 + O(\varepsilon).$$

Эти формулы и (3.1) подставим в правую часть (3.9), после ряда преобразований получим

$$\Delta x_{k+1} = \rho_k \Delta x_k + \tilde{\theta}_1(\Delta z_k), \quad \Delta u_{k+1} = \rho_k \Delta u_k + \tilde{\theta}_2(\Delta z_k),$$

где $\|\tilde{\theta}_i(\Delta z_k)\| = O(\varepsilon^2)$, $i = 1, 2$. С учетом (3.2) приходим к (3.5). Равенства (3.6) следуют из (3.8) и (3.10).

Если имеет место регулировка (3.3) или (3.4), то вблизи решения

$$\rho_k = \gamma \left(\sum_{i=1}^m x_*^i \Delta v_k^i + \sum_{i=m+1}^n v_*^i \Delta x_k^i \right) + O(\varepsilon^2).$$

Отсюда и из (3.9) заключаем, что $\|\Delta z_{k+1}\| = O(\varepsilon^2)$, т. е. имеет место квадратичная скорость сходимости. Теорема доказана.

Важным свойством метода (1.4) является возможность в некоторых случаях решать задачи (1.1) и (1.2) за конечное число шагов. Рассмотрим это свойство. Введем индексные множества, зависящие от векторов x и v :

$$\sigma(x) = \{1 \leq i \leq n : x^i = 0\}, \quad \sigma(v) = \{1 \leq i \leq n : v^i = 0\}.$$

Если все компоненты векторов x и v не равны нулю, то $\sigma(x) = \emptyset$, $\sigma(v) = \emptyset$.

Обозначим через T_k множество начальных пар $[x_0, u_0]$ таких, что алгоритм (1.3) при $\tau_k = \alpha_k = 1$ дает решение обеих задач (1.1) и (1.2) за k итераций. Определим множества

$$\Omega_1 = \{[x, u] : x = x_*, \sigma(x) \cap \sigma(v) = \emptyset\},$$

$$\Omega_2 = \{[x, u] : u = u_*, \sigma(x) \cap \sigma(v) = \emptyset\},$$

$$\Omega_3 = \{[x, u] : \sigma(x) = \sigma(x_*), \sigma(x) \cap \sigma(v) = \emptyset\}.$$

Теорема 4. *Предположим, что задачи (1.1) и (1.2) имеют невырожденные решения x_* и u_* . Предположим также, что в методе (1.3) параметры выбираются следующим образом: $\lambda_k = \tau_k = \alpha_k = 1$; тогда $\Omega_1 \subseteq T_1$, $\Omega_2 \subseteq T_1$, $\Omega_3 \subseteq T_2$.*

Доказательство. Метод (1.3) при $\lambda_k = \tau_k = \alpha_k = 1$ упрощается и имеет вид

$$D(v_k) x_{k+1} - D(x_k) A^T u_{k+1} = -D(x_k) A^T u_k, \quad A x_{k+1} = b.$$

Поэтому если пара $[x_0, u_0] \in T_1$, то должно выполняться равенство

$$(3.11) \quad D(v_0) x_* = D(x_0) A^T (u_* - u_0).$$

Легко показать, что любая пара начальных условий $[x_0, u_0]$ из Ω_1 или Ω_2 удовлетворяет (3.11).

Докажем последнее утверждение — о том, что $\Omega_3 \subseteq T_2$. Пусть для точки x_0 имеет место представление, аналогичное (1.7), т. е. $x_0^B \neq 0_m$, $x_0^N = 0_d$, тогда

$$D(v_0^B) x_1^B - D(x_0^B) B^T u_1 = -D(x_0^B) B^T u_0, \quad D(v_0^N) x_1^N = 0_d, \quad B x_1^B + N x_1^N = b.$$

Все компоненты вектора v_0^B не равны нулю, поэтому

$$x_1^N = 0_d, \quad x_1^B = B^{-1} b = x_*^B, \quad u_1 = u_0 + (B^T)^{-1} D^{-1}(x_0^B) D(v_0^B) x_*^B.$$

Таким образом, за один шаг получаем точный вектор $x = x_*$.

Полагая $k = 1$, находим

$$D(v_1^B) x_2^B - D(x_1^B) B^T u_2 = -D(x_1^B) B^T u_1, \quad D(v_1^N) x_2^N = 0_d, \quad Bx_2^B + Nx_2^N = b.$$

Решение этой системы очевидно:

$$x_2^B = x_2^*, \quad x_2^N = 0_d, \quad u_2 = (B^T)^{-1} c^B, \quad v_2^B = 0_m,$$

$$v_2^N = c^N - N^T (B^T)^{-1} c^B = v_2^* > 0_d,$$

следовательно, найдено точное решение обеих задач. Теорема доказана.

Полученный результат имеет глобальный характер. Если, например, $[x_0, u_0] \in \Omega_2$, то вектор x_0 может иметь даже отрицательные компоненты.

§ 4. Метод внутренней точки с наискорейшим спуском

Правила регулирования шагов α_k и τ_k во внутренней точке $z_k^i = [x_k^i, v_k^i]$ будем определять из решения вспомогательных задач. Чтобы точка z_{k+1}^i была внутренней, потребуем выполнения условий

$$(4.1) \quad 0 \leq \alpha_k \leq \omega \alpha_k^* = \bar{\alpha}_k, \quad 0 \leq \tau_k \leq \omega \tau_k^* = \bar{\tau}_k,$$

где $0 < \omega < 1$. Для простоты предположим, что α_k^* и τ_k^* конечны. Из (4.1) и (1.10) следует неравенство

$$(4.2) \quad 1/\bar{\alpha}_k + 1/\bar{\tau}_k \geq 1/\omega.$$

Шаги α_k и τ_k при условии (4.1) целесообразно выбирать так, чтобы по возможности минимизировать величину Φ_{k+1} и норму невязки $\|Ax_{k+1} - b\|$, определяемые по формулам (1.9), (1.8). Опуская для упрощения записи индекс k и вводя обозначения $L = \mu^T Ax$, $M = \mu^T b$, $N = \|Ax - b\|$, приходим к двум критериям:

$$\varphi_1(\alpha, \tau) = \Phi - L\alpha + (L - \Phi)\tau + (L - M)\alpha\tau, \quad \varphi_2(\tau) = N|1 - \tau|.$$

Объединим оба критерия в один, используя их линейную свертку. Получим вспомогательную задачу: найти

$$(4.3) \quad \varphi^0(\bar{\alpha}, \bar{\tau}) = \min_{0 \leq \alpha \leq \bar{\alpha}, 0 \leq \tau \leq \bar{\tau}} \varphi(\alpha, \tau),$$

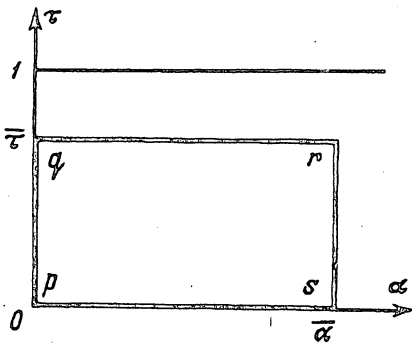
$$(4.4) \quad \varphi(\alpha, \tau) = \varphi_1(\alpha, \tau) + \varphi_2(\tau).$$

Решение задачи (4.3) обозначим α^0, τ^0 . Считаем, что $b \neq 0_m$, поэтому $M > 0$. Кроме того, будем принимать во внимание, что на рассматриваемом множестве $\varphi_1(\alpha, \tau) > 0$.

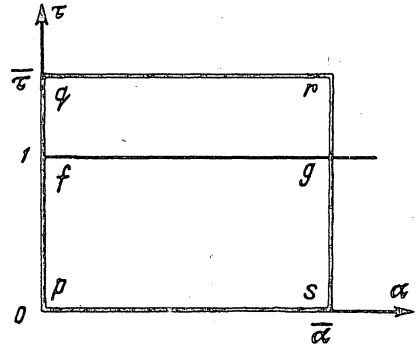
В общем случае функция $\varphi(\alpha, \tau)$ кусочно-билинейна. Поэтому среди экстремальных точек хотя бы одна будет вершиной одного из прямоугольников, являющихся областями ее билинейности.

В случае $\bar{\tau} < 1$ функция $\varphi(\alpha, \tau)$ билинейна и выражается формулой

$$(4.5) \quad \varphi(\alpha, \tau) = \Phi + N - L\alpha + (L - \Phi - N)\tau + (L - M)\alpha\tau,$$



Фиг. 3



Фиг. 4

областью ее определения является прямоугольник $p q r s$ (фиг. 3). Запишем значения $\varphi(\alpha, \tau)$ в его вершинах:

$$(4.6a) \quad \varphi_p = \Phi + N, \quad \varphi_q = (\Phi + N)(1 - \bar{\tau}) + L\bar{\tau},$$

$$(4.6b) \quad \varphi_r = (\Phi + N)(1 - \bar{\tau}) + L(\bar{\tau} - \bar{\alpha}) + (L - M)\bar{\alpha}\bar{\tau}, \quad \varphi_s = \Phi + N - L\bar{\alpha}.$$

В точке p не может достигаться $\min \varphi$, так как при $L > 0$ верно $\varphi_s < \varphi_p$, а если $L \leq 0$, то $\varphi_q < \varphi_p$. Вид решения зависит от поведения функции φ на отрезках qr и rs . Учитывая, что $\partial\varphi(\alpha, \bar{\tau})/\partial\alpha = -L(1 - \bar{\tau}) - M\bar{\tau}$, $\partial\varphi(\bar{\alpha}, \tau)/\partial\tau = -(\Phi + N + M\bar{\alpha}) + L(1 + \bar{\alpha})$, находим решение задачи. Оно отражено в табл. 1, значения $\varphi^0(\bar{\alpha}, \bar{\tau})$ определяются по формулам (4.6).

Таблица 1

$\frac{\partial\varphi}{\partial\tau} \backslash \frac{\partial\varphi}{\partial\alpha}$	$\frac{\partial\varphi}{\partial\alpha} \Big _{\tau=\bar{\tau}} > 0$	$\frac{\partial\varphi}{\partial\alpha} \Big _{\tau=\bar{\tau}} = 0$	$\frac{\partial\varphi}{\partial\alpha} \Big _{\tau=\bar{\tau}} < 0$
$\frac{\partial\varphi}{\partial\tau} \Big _{\alpha=\bar{\alpha}} < 0$	} { не реализуется	} {	точка q
$\frac{\partial\varphi}{\partial\tau} \Big _{\alpha=\bar{\alpha}} = 0$			отрезок qr
$\frac{\partial\varphi}{\partial\tau} \Big _{\alpha=\bar{\alpha}} > 0$			точка r
			отрезок rs
			точка s

В случае $\bar{\tau} \geq 1$ при $\tau \leq 1$ функция $\varphi(\alpha, \tau)$ имеет вид (4.5), а при $\tau \geq 1$

$$\varphi(\alpha, \tau) = \Phi - N - L\alpha + (L - \Phi + N)\tau + (L - M)\alpha\tau.$$

Функция $\varphi(\alpha, \tau)$ кусочно-билинейна. Подобластями билинейности являются прямоугольники $p f g s$ и $f q r g$ (фиг. 4). Найдем значения $\varphi(\alpha, \tau)$ в их вершинах:

$$(4.7a) \quad \varphi_p = \Phi + N, \quad \varphi_f = L, \quad \varphi_q = (\Phi - N)(1 - \bar{\tau}) + L\bar{\tau},$$

$$(4.7b) \quad \varphi_r = (\Phi - N + L\bar{\alpha})(\bar{\tau} - 1) + (L - M\bar{\alpha})\bar{\tau}, \quad \varphi_g = L - M\bar{\alpha}, \quad \varphi_s = \Phi + N - L\bar{\alpha},$$

Вершина p не может быть точкой минимума $\varphi(\alpha, \tau)$, так как, ввиду $\varphi_1(\alpha, \tau) > 0$, должно быть $L > 0$ и поэтому $\varphi_s < \varphi_p$. Минимум $\varphi(\alpha, \tau)$ не может

достигать я и в вершине f , так как $\varphi_g < \varphi_f$. Анализируя поведение $\varphi(\alpha, \tau)$ на сторонах qr и rs , используя соотношения

$$\begin{aligned}
 (\partial\varphi/\partial\alpha)_{\tau=\bar{\tau}} &= L(\bar{\tau} - 1) - M\bar{\tau}, \\
 (\partial\varphi/\partial\tau)_{\alpha=\bar{\alpha}} &= L(1 + \bar{\alpha}) + N - (\Phi + M\bar{\alpha}) \geq (\partial\varphi/\partial\tau)_{\alpha=\bar{\alpha}} = \\
 &= L(1 + \bar{\alpha}) - (\Phi + N + M\bar{\alpha}),
 \end{aligned}$$

получаем возможные варианты решения задачи. Они отражены в табл. 2, значения $\varphi^0(\bar{\alpha}, \bar{\tau})$ находятся по формулам (4.7).

Таблица 2

$\partial\varphi/\partial\alpha$	$\frac{\partial\varphi}{\partial\alpha} _{\tau=\bar{\tau}} > 0$	$\frac{\partial\varphi}{\partial\alpha} _{\tau=\bar{\tau}} = 0$	$\frac{\partial\varphi}{\partial\alpha} _{\tau=\bar{\tau}} < 0$
$\frac{\partial\varphi}{\partial\tau} _{\alpha=\bar{\alpha}, \tau > 1} < 0$	} точка q {	отрезок qr	точка r
$\frac{\partial\varphi}{\partial\tau} _{\alpha=\bar{\alpha}, \tau < 1} < 0 = \frac{\partial\varphi}{\partial\tau} _{\alpha=\bar{\alpha}, \tau > 1}$			
$\frac{\partial\varphi}{\partial\tau} _{\alpha=\bar{\alpha}, \tau < 1} = 0 = \frac{\partial\varphi}{\partial\tau} _{\alpha=\bar{\alpha}, \tau > 1}$	не реализуется		отрезок rs
$\frac{\partial\varphi}{\partial\tau} _{\alpha=\bar{\alpha}, \tau < 1} < 0 < \frac{\partial\varphi}{\partial\tau} _{\alpha=\bar{\alpha}, \tau > 1}$	$\arg \min \{\varphi_q, \varphi_g\}$		точка g
$\frac{\partial\varphi}{\partial\tau} _{\alpha=\bar{\alpha}, \tau < 1} = 0 < \frac{\partial\varphi}{\partial\tau} _{\alpha=\bar{\alpha}, \tau > 1}$	$\arg \min \{\varphi_q, \varphi_{sg}\}$		отрезок sg
$0 < \frac{\partial\varphi}{\partial\tau} _{\alpha=\bar{\alpha}, \tau < 1}$	$\arg \min \{\varphi_q, \varphi_s\}$		точка s

Таким образом, если следовать полученным оптимальным стратегиям выбора шагов α_k и τ_k , то в любом случае шаг α_k можно принять равным 0 либо $\bar{\alpha}$. Шаг τ_k в случае $\bar{\tau} \geq 1$, помимо крайних значений 0 и $\bar{\tau}$, может также принимать промежуточное значение 1. Метод внутренней точки (1.4) с шагами α_k и τ_k , выбираемыми из решения вспомогательной задачи (4.4), назовем *методом наискорейшего спуска*.

Оценим величину $\varphi^0(\bar{\alpha}, \bar{\tau})$ в предположении, что

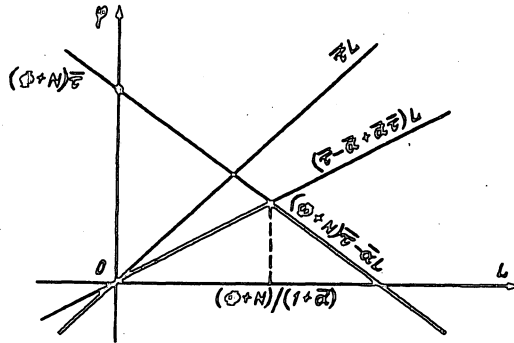
$$\|\eta_k\|_\infty = \max_{1 \leq i \leq n} |\eta'_k| \leq C.$$

В этом случае, согласно (1.10) и (4.1), имеем

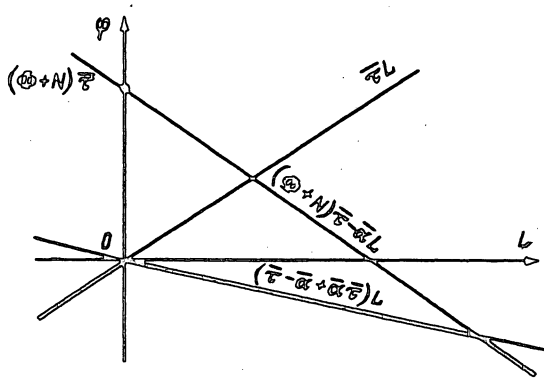
$$(4.8) \quad \bar{\alpha} \geq \omega/C, \quad \bar{\tau} \geq \omega/(1 + C).$$

Найдем

$$\psi^* = \sup_{\bar{\alpha} \geq \omega/C, \bar{\tau} \geq \omega/(1+C)} \varphi^0(\bar{\alpha}, \bar{\tau}).$$



Фиг. 5



Фиг. 6

Вспользуемся тем, что $\varphi^0(\bar{\alpha}, \bar{\tau})$ не должно превышать значение $\varphi(\alpha, \tau)$ в любой из допустимых точек $[\alpha, \tau]$.

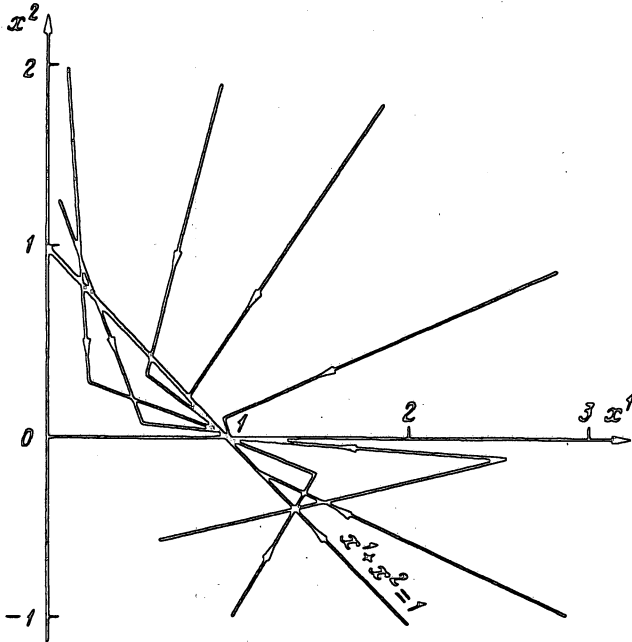
Для случая $\bar{\tau} \geq 1$ в качестве таких точек возьмем s и f :

$$(4.9) \quad \varphi^0(\bar{\alpha}, \bar{\tau}) \leq \min \{\varphi_s, \varphi_f\} \leq \\ \leq \max_L \min \{L, \Phi + N - \bar{\alpha}L\} = (\Phi + N) / (1 + \bar{\alpha}).$$

Для случая $\bar{\tau} < 1$ обратимся к точкам q, r, s . Так как $M > 0$, то $\varphi_r < (\Phi + N)(1 - \bar{\tau}) + (\bar{\tau} - \bar{\alpha} + \bar{\alpha}\bar{\tau})L$. Поэтому

$$(4.10) \quad \varphi^0(\bar{\alpha}, \bar{\tau}) \leq \min \{(\Phi + N)(1 - \bar{\tau}) + L\bar{\tau}, (\Phi + N)(1 - \bar{\tau}) + \\ + (\bar{\tau} - \bar{\alpha} + \bar{\alpha}\bar{\tau})L, \Phi + N - \bar{\alpha}L\} \leq (\Phi + N)(1 - \bar{\tau}) + \\ + \max_L \min \{\bar{\tau}L, (\bar{\tau} - \bar{\alpha} + \bar{\alpha}\bar{\tau})L, (\Phi + N)\bar{\tau} - \bar{\alpha}L\}.$$

Из $\bar{\tau} \leq 1$ вытекает, что $\bar{\tau} - \bar{\alpha} + \bar{\alpha}\bar{\tau} \leq \bar{\tau}$. Таким образом, если $\bar{\tau} - \bar{\alpha} + \bar{\alpha}\bar{\tau} \geq 0$, то максимум по L находится из условия $(\bar{\tau} - \bar{\alpha} + \bar{\alpha}\bar{\tau})L = (\Phi + N)\bar{\tau} - \bar{\alpha}L$ и достигается в точке $L = (\Phi + N) / (1 + \bar{\alpha})$, как показано на фиг. 5. Подставляя данное значение L в правую часть (4.10), приходим к выводу, что оценка (4.9) сохраняется и при этом предположении. Случаю $\bar{\tau} - \bar{\alpha} + \bar{\alpha}\bar{\tau} < 0$ соответствует



Фиг. 7

ситуация, изображенная на фиг. 6. Максимум определяется из условия $\bar{\tau}L = (\bar{\tau} - \bar{\alpha} + \bar{\alpha}\bar{\tau})L$ и достигается в нуле. Вместо (4.9) выполняется

$$(4.11) \quad \varphi^0(\bar{\alpha}, \bar{\tau}) \leq (\Phi + N)(1 - \bar{\tau}).$$

Из (4.1), (4.9) и (4.11) следует, что

$$(4.12) \quad \varphi^* \leq v(\Phi + N),$$

$$v = \max \left\{ \max_{\bar{\alpha} \geq \omega/C} \frac{1}{1 + \bar{\alpha}}, \max_{\bar{\tau} \geq \omega/(1+C)} (1 - \bar{\tau}) \right\} = 1 - \frac{\omega}{1 + C}.$$

Полученная оценка недостижима и неулучшаема. Недостижимость ($\varphi^0(\bar{\alpha}, \bar{\tau}) < \varphi^*$) вытекает из предыдущих рассуждений, а неулучшаемость видна из следующего примера: полагая $\Phi = N = 1$, $L = 0$, $M \rightarrow 0$, $\omega = 0.8$, $C = 0.6$, $\bar{\alpha}^* = 1.875$, $\bar{\tau}^* = 0.625$ и убеждаясь, что выполнены условия (4.2), (4.8), $\bar{\tau} < 1$, что оптимальна точка r , с помощью (4.6) и (4.12) находим $\varphi^0 = 1 - 3M/4$, $v(\Phi + N) = 1$, т. е. $\lim_{M \rightarrow 0} \varphi^0 = v(\Phi + N)$.

На основании (4.12), используя определение φ^* , получаем

$$\Phi_{k+1} + \|Ax_{k+1} - b\| \leq v(\Phi_k + \|Ax_k - b\|).$$

Это неравенство позволяет оценить число шагов, достаточных для попадания точки $[x_k, u_k]$ в некоторую окрестность решения задач (1.1) и (1.2).

Теорема 5. Пусть $z_0 = [x_0, u_0]$ — внутренняя точка, и пусть последовательности $\{x_k\}$ и $\{u_k\}$, порождаемые методом наискорейшего спуска, таковы,

что $\|\eta_k\|_\infty \leq C$ для всех k . Тогда для произвольного $\varepsilon > 0$ функция $\Phi(x, u) = v^T(u)x + \|Ax - b\|$ становится меньше ε не более чем за

$$K = \left\lceil \frac{1 + C}{\omega} \ln \frac{\Phi(x_0, u_0)}{\varepsilon} \right\rceil$$

итераций, где $\lceil a \rceil$ — наименьшее целое, приближающее число a сверху.

На фиг. 7 показано решение примера из § 2 методом наискорейшего спуска. Параметр ω полагался равным 0.9. Отметим, что при приближении ω к единице количество итераций, необходимых для решения задачи с заданной точностью, уменьшалось, доходя для некоторых начальных точек до двух.

ЦИТИРОВАННАЯ ЛИТЕРАТУРА

1. Ортега Д., Рейнболдт В. Итерационные методы решения нелинейных уравнений со многими неизвестными. М.: Мир, 1975.
2. Васильев Ф. П. Численные методы решения экстремальных задач. М.: Наука, 1980.
3. Евтушенко Ю. Г. Методы решения экстремальных задач и их применение в системах оптимизации. М.: Наука, 1982.
4. Iri M., Imai H. A multiplicative barrier function method for linear programming//Algorithmica. 1986. № 1. P. 455—482.
5. De Ghellink G., Vial J.-P. A polynomial Newton method for linear programming//Algorithmica. 1986. № 1. P. 425—453.
6. Renegar J. A polynomial-time algorithm, based on Newton's method for linear programming//Math. Program. 1988. V. 40. № 1. P. 55—94.
7. Gonzaga C. C. Path-following methods for linear programming//SIAM Rev. 1992. V. 34. № 2. P. 167—224.
8. Kojima M., Mizuno S., Yoshise A. A primal-dual interior point method for linear programming//Progress Math. Program. Interior Point and Relative Methods/Ed. N. Megiddo. Berlin: Springer-Verlag, 1989. Ch. 2.
9. Monteiro R. C., Adler I. Interior path-following primal-dual algorithm, part I: Linear programming//Math. Program. 1989. V. 44. P. 43—66.
10. McShane K., Monma C., Shanno D. An implementation of a primal-dual interior point method for linear programming//ORSA J. Comput. 1989. № 1. P. 70—83.
11. Ye Y., Tapia R., Zhang Y. A superlinear convergent $O(\sqrt{n}L)$ -iteration algorithm for linear programming: Techn. Rept TR91-22, 1991, Rice Univ. Houston, Texas.
12. Jansen B., Roos C., T. Terlaky, Vial J.-Ph. Primal-dual target-following algorithms for linear programming: Techn. Rept 93—107, Fac. Techn. Math. and Informatics, TU Delft, 1993.
13. Еремин И. И., Астафьев Н. Н. Введение в теорию линейного и выпуклого программирования. М.: Наука, 1976.
14. Evtushenko Yu. G., Zhadan V. G. The space transformation technique in mathematical programming//System Modelling and Optimizat. Ed. P. Kall. Lect. Notes in Control and Information Sci. 180. Proc. 15th IFIP Conf. Springer-Verlag, 1991.
15. Evtushenko Yu. G., Zhadan V. G. Stable barrier-projection and barrier-Newton methods in nonlinear programming//Optimizat Meth. and Software. 1994. V. 3. P. 237—256.
16. Евтушенко Ю. Г., Жадан В. Г. Барьерно-проективные и барьерно-ньютоновские численные методы оптимизации (случай нелинейного программирования)//Сообщ. по вычисл. матем. М.: ВЦ АН СССР, 1991.
17. Евтушенко Ю. Г., Жадан В. Г. Барьерно-проективные и барьерно-ньютоновские численные методы оптимизации (случай линейного программирования)//Сообщ. по вычисл. матем. М.: ВЦ РАН, 1992.
18. Ye Y. Line search in potential reduction algorithms for linear programming//Dept. Management Sci. Iowa City, IA: Univ. Iowa, 1989.
19. El-Bakly A. S., Tapia R. A., Zhang Y. A study of indicators for identifying zero variables in interior-point methods: Techn. Rept. TR91-15, 1991. Rice Univ., Houston, Texas.